

Curso: HORMIGÓN ESTRUCTURAL 1

MÓDULO 5: ANÁLISIS DEL PROCESO DE ROTURA

Agustin Spalvier (aspalvier@fing.edu.uy)

1^{er} Semestre - 2023

Universidad de la República - Uruguay



UNIVERSIDAD
DE LA REPUBLICA
URUGUAY

- **Análisis del proceso de carga y rotura de una viga a flexión**
- **Relación Momento-Curvatura**
- **Armadura mínima**
- **Proceso de rotura en una viga**
- **Importancia de la ductilidad**
- **Redistribución de momentos**

ACLARACIÓN: Estas transparencias se preparan únicamente como una guía para las clases, las cuales cumplen la función de ser una presentación de los temas que el estudiante debe aprender para aprobar el curso, indicados en la bibliografía.

Bibliografía: Jiménez Montoya – 15^a Ed. – Cap. 14 y 15. (Estos capítulos abarcan temas de los módulos referidos a dimensionado ante sollicitaciones normales)

- **Consideraciones generales:**

- Ejemplo con viga “bien diseñada”

- Veremos más adelante que tenemos límites inferiores y superiores para la armadura que se puede disponer, si la armadura es inferior a un valor mínimo (viga sub-armada) o mayor a un valor máximo (viga sobre-armada), podremos tener comportamientos no deseados.

- En el proceso de carga, la sección más solicitada pasa por tres estados diferentes:

- **Estado I (materiales en comportamiento elástico-lineal):** Tensiones proporcionales a las deformaciones. El hormigón colabora a tracción.
- **Estado II (hormigón fisurado):** Cuando se alcanza la resistencia a tracción del hormigón, la pieza se fisura. Nuevo equilibrio, con la sección fisurada (el **hormigón no colabora a tracción**).

- *Este estado se sub-divide en dos:*

- » Estado IIa: Fase inicial, cuando ambos materiales continúan en el tramo lineal.
- » Estado IIb: Cuando por lo menos uno de los materiales sale del tramo lineal.

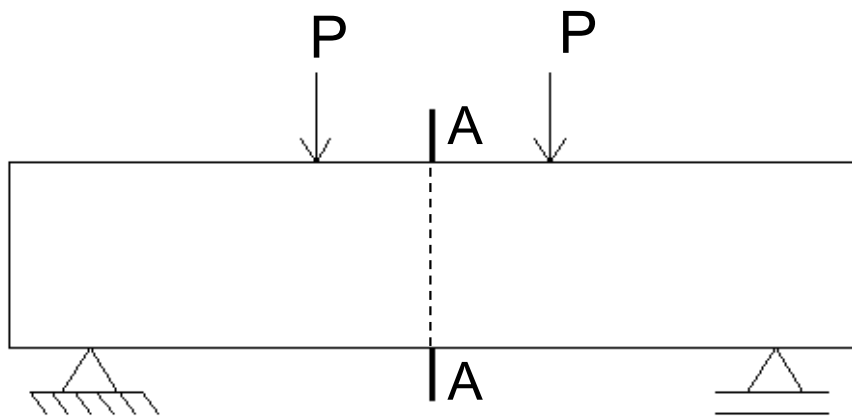
- **Estado III (pre-rotura):** límite del estado anterior, con uno de los materiales en su deformación máxima. Normalmente, la línea neutra sube lo máximo posible, y se alcanza el brazo de par máximo (z máximo).



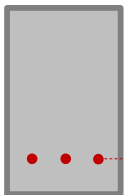
ANALISIS DEL PROCESO DE ROTURA

• Desarrollo del proceso de rotura:

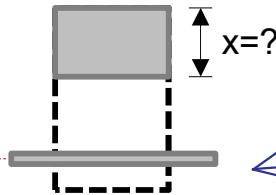
- Viga de hormigón armado, simplemente apoyada, sometida a flexión pura.



Sección bruta

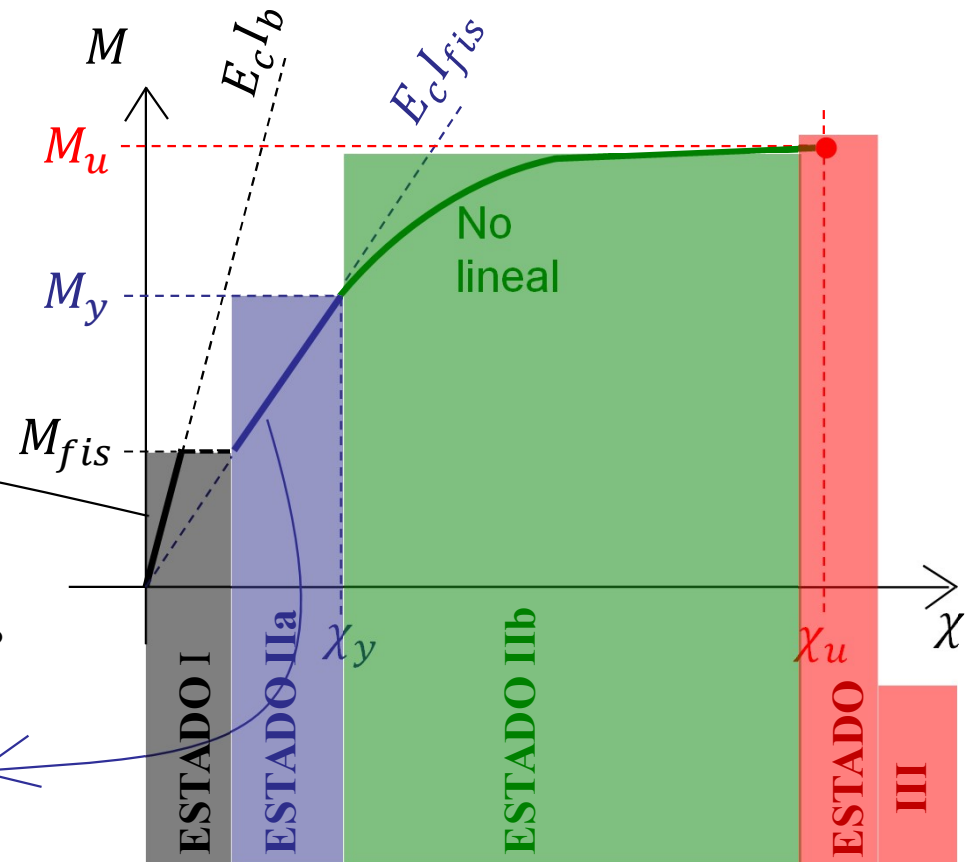


Sección fisurada (equivalente)



Relación Momento-Curvatura

$$\chi = \frac{M}{EI}?$$



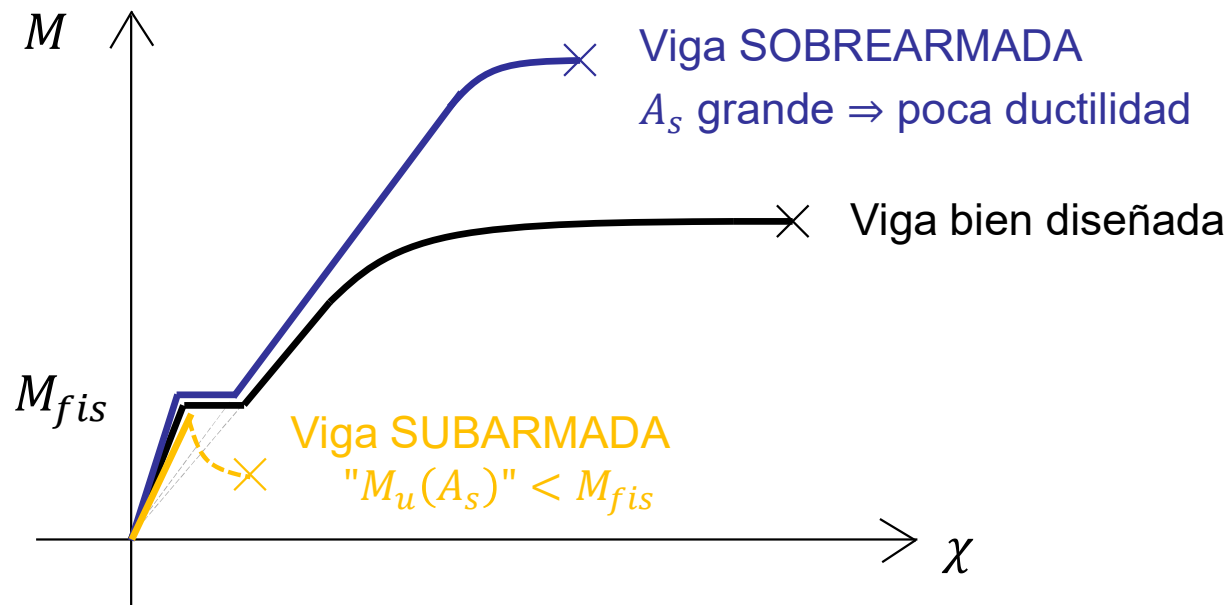
Vigas a flexión “mal diseñadas”

- **Viga con poca armadura (viga sub-armada)**

- La pieza rompe bruscamente al alcanzar las tensiones de tracción en el hormigón.
 - Por lo tanto, el armado mecánico mínimo se determina para asegurar que la sección de hormigón armado (M_U) resiste más que el momento en que la pieza se fisura (M_{fis}) $\Rightarrow M_U \geq M_{fis}$

- **Viga con mucha armadura (viga sobre-armada)**

- La pieza rompe bruscamente al alcanzar el M_U , bajando la línea neutra, y aumentando la cabeza de compresión del hormigón hasta que éste estalla.
 - Por lo tanto, se debe diseñar la pieza para que “rompa” en el dominio 2 o 3 recomendado. Esto nos asegura un tramo de plastificación antes de la rotura.



Cuantía mínima mecánica en flexión

- $A_{s,min}$ para evitar que la pieza rompa bruscamente al fisurar (pase de EI a EII).

$$M_u \geq M_{fis} \begin{cases} M_u = A_s f_{yd} z \text{ (ELU)} \\ M_{fis} = W_1 f_{ct,m,fl} \text{ (estado I)} \end{cases}$$

$f_{ct,m,fl}$ Resistencia media a flexotracción del hormigón.

Armadura mínima mecánica a flexión:

$$A_p f_{pd} \frac{d_p}{d_s} + A_s f_{yd} \geq \frac{W_1 f_{ct,m,fl}}{z} + \frac{P}{z} \left(\frac{W_1}{A} + e \right)$$

Pretensado

(EHE 42.3.2)

$$\Rightarrow A_s f_{yd} z \geq W_1 f_{ct,m,fl}$$

Fórmula general para despejar $A_{s,min}$

- Para secciones rectangulares, se utiliza una fórmula basada en algunas simplificaciones:

- Brazo de par estimado (“números gordos”):

$$z \approx 0,9.d$$

$$z \approx 0,8.h$$

$$f_{ct,m,fl} \cong 0.13 f_{ck} = 0.13 \times 1.5 f_{cd} = 0.195 f_{cd}$$

$$W_1: \sigma = M \frac{h/2}{I_b} = \frac{M}{\frac{bh^2}{6}} \Rightarrow W_1 = \frac{bh^2}{6}$$

$$z \cong 0.8 h$$

$$A_s f_{yd} z \geq W_1 f_{ct,m,fl} \Leftrightarrow$$

$$A_s f_{yd} 0.8h \geq \frac{bh^2}{6} 0.195 f_{cd} \Leftrightarrow$$

$$\frac{A_s f_{yd}}{bh f_{cd}} \geq \frac{0.195}{6 \times 0.8} = 0.0406 \Leftrightarrow \omega_{min,(h)} \geq 0.04$$

(EHE 42.3.2)

$$\omega_{(h)} h = \omega_{(d)} d \Rightarrow \omega_{min,(d)} = \frac{h}{d} \omega_{min,(h)} = \frac{0.9}{0.8} 0.04 = \mathbf{0.045}$$

Para sección rectangular: $\omega_{min,(h)} = 0,04$

Cuantía mínima mecánica en flexión

- Cálculo “exacto” para una sección rectangular siguiendo las definiciones de las características del hormigón establecidas en la EHE art. 39.

$$f_{ct,m} = 0,30 f_{ck}^{2/3} \quad \text{para } f_{ck} \leq 50 \text{ N/mm}^2$$

$$f_{ct,m} = 0,58 f_{ck}^{1/2} \quad \text{para } f_{ck} > 50 \text{ N/mm}^2$$

$$f_{ct,k} = 0,70 f_{ct,m}$$

$$f_{ct,m,fl} = \max \{ (1,6 - h/1.000) f_{ct,m}; f_{ct,m} \}$$

$$\omega(h),min = \frac{1,5 \times f_{ct,m,fl} / f_{ck}}{6 \times 0,8}$$

(ver código para generar imagen al final de la presentación) →

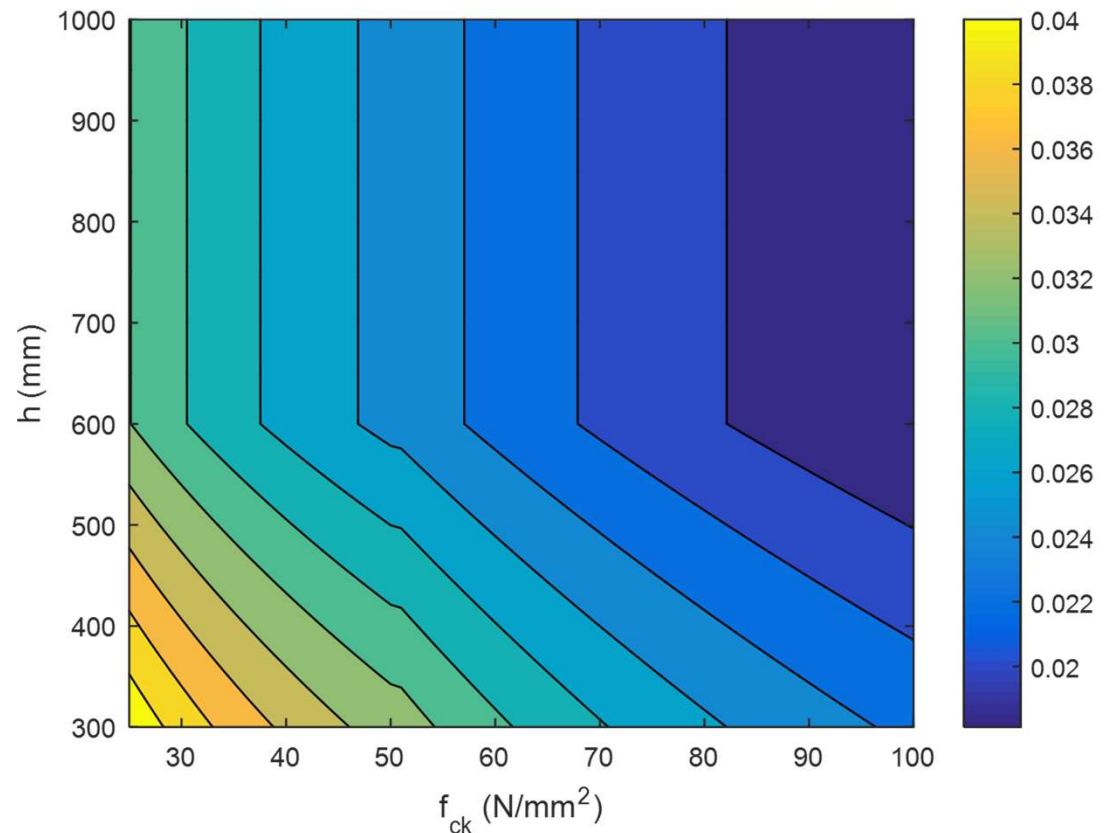


Figura: ω_{min} según EHE

Armaduras mínimas y máximas

• Límites inferiores:

- Evitar la rotura frágil
 - Cuantía mínima mecánica
- Evitar la fisuración por retracción y efectos térmicos
 - Cuantía mínima geométrica

• Límite superior:

- Evitar la rotura poco dúctil y favorecer redistribución de esfuerzos
 - Sección doblemente armada para asegurar $\xi \leq 0,45$.

• Cuantías:

» Cociente entre capacidades mecánicas

$$\text{Cuantía mecánica: } \omega = \frac{A_{s1} \cdot f_{yd}}{b \cdot d \cdot f_{cd}}$$

» Cociente entre áreas de materiales

$$\text{Cuantía geométrica: } \rho_s = \frac{A_s}{A_c}$$

• Cuantía geométrica mínima (EHE 42.3.5)

- (leer artículo en norma, pie de páginas, y comentarios)

Tabla 42.3.5

Cuantías geométricas mínimas, en tanto por 1.000, referidas a la sección total de hormigón⁽⁶⁾

Tipo de elemento estructural		Tipo de acero	
		Aceros con $f_y = 400 \text{ N/mm}^2$	Aceros con $f_y = 500 \text{ N/mm}^2$
Pilares		4,0	4,0
Losas ⁽¹⁾		2,0	1,8
Forjados unidireccionales	Nervios ⁽²⁾	4,0	3,0
	Armadura de reparto perpendicular a los nervios ⁽³⁾	1,4	1,1
	Armadura de reparto paralela a los nervios ⁽³⁾	0,7	0,6
Vigas ⁽⁴⁾		3,3	2,8
Muros ⁽⁵⁾	Armadura horizontal	4,0	3,2
	Armadura vertical	1,2	0,9

⁽¹⁾ Cuantía mínima referida al espesor de la capa de compresión normalizada *in situ*.

⁽⁴⁾ Cuantía mínima correspondiente a la cara de tracción. Se recomienda disponer en la cara opuesta una armadura mínima igual al 30% de la consignada.

⁽⁵⁾ La cuantía mínima vertical es la correspondiente a la cara de tracción. Se recomienda disponer en la cara opues-

Cuantías mínimas deben ser verificadas siempre.

Cuantía mín/max mecánica en flexión según EC

$$A_{s,min} = 0,26 \frac{f_{ctm}}{f_{yk}} b_t d \quad \text{but not less than } 0,0013 b_t d \quad (9.1N)$$

Where:

b_t denotes the mean width of the tension zone; for a T-beam with the flange in compression, only the width of the web is taken into account in calculating the value of b_t .

$$\begin{cases} f_{ctm} = 0,30 \times f_{ck}^{(2/3)} \leq C50/60 \\ f_{ctm} = 2,12 \cdot \ln(1 + (f_{cm}/10)) > C50/60 \end{cases} \rightarrow f_{ctm} \cong 0,10 f_{ck}$$

Tabla 3,1

f_{ck} (MPa)	12	16	20	25	30	35	40
f_{ctm} (MPa)	1,6	1,9	2,2	2,6	2,9	3,2	3,5

$$A_{s,min} \cong 0,026 \frac{f_{ck} b d}{f_{yk}} = 0,026 \frac{1,5 f_{cd} b d}{1,15 f_{yd}} \Rightarrow A_{s,min} = 0,034 \frac{f_{cd} b d}{f_{yd}} \Rightarrow \omega_{min(d)} = 0,034$$

Para este curso usaremos lo indicado por la EHE 2008 ($\omega_{min(d)} = 0,045$) como cuenta rápida, o como cuenta exacta debemos garantizar que $M_u \geq M_{fis}$.

(3) The cross-sectional area of tension or compression reinforcement should not exceed $A_{s,max}$ outside lap locations.

Note: The value of $A_{s,max}$ for beams for use in a Country may be found in its National Annex. The recommended value is $0,04 A_c$.

$$A_{s,max} = 0,04 A_c$$

Fisuración por efectos higrotérmicos



Recordar cuantías geométricas mínimas en muros

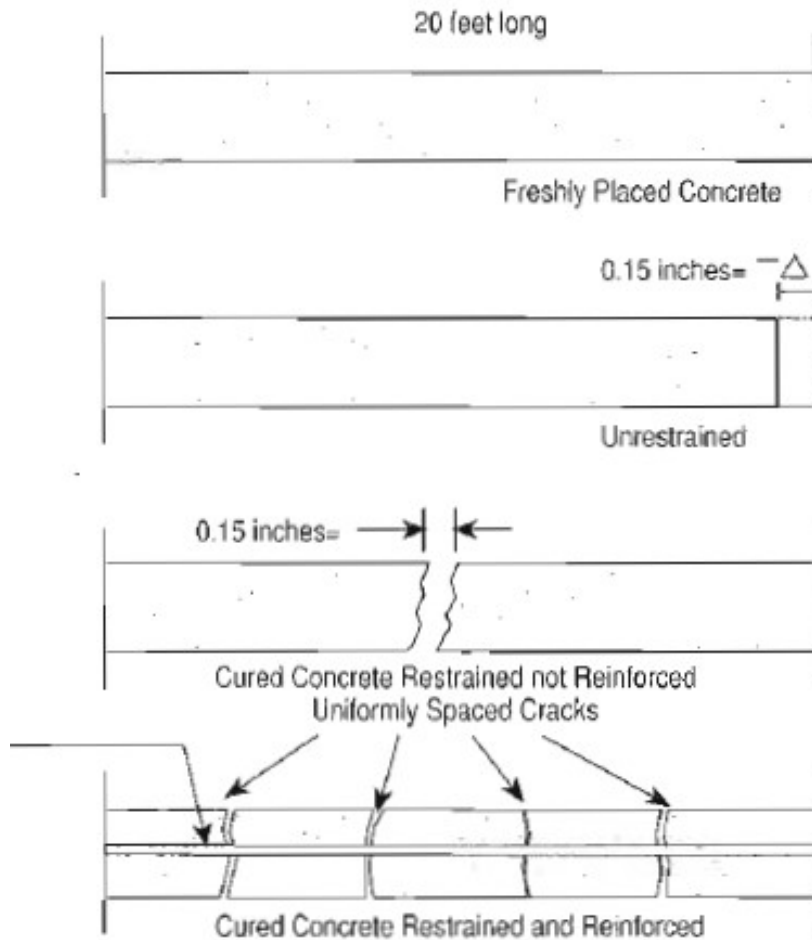
Armadura horizontal	4,0	3,2
Armadura vertical	1,2	0,9

Muchos efectos higrotérmicos pueden generar fisuras en estructuras de hormigón:

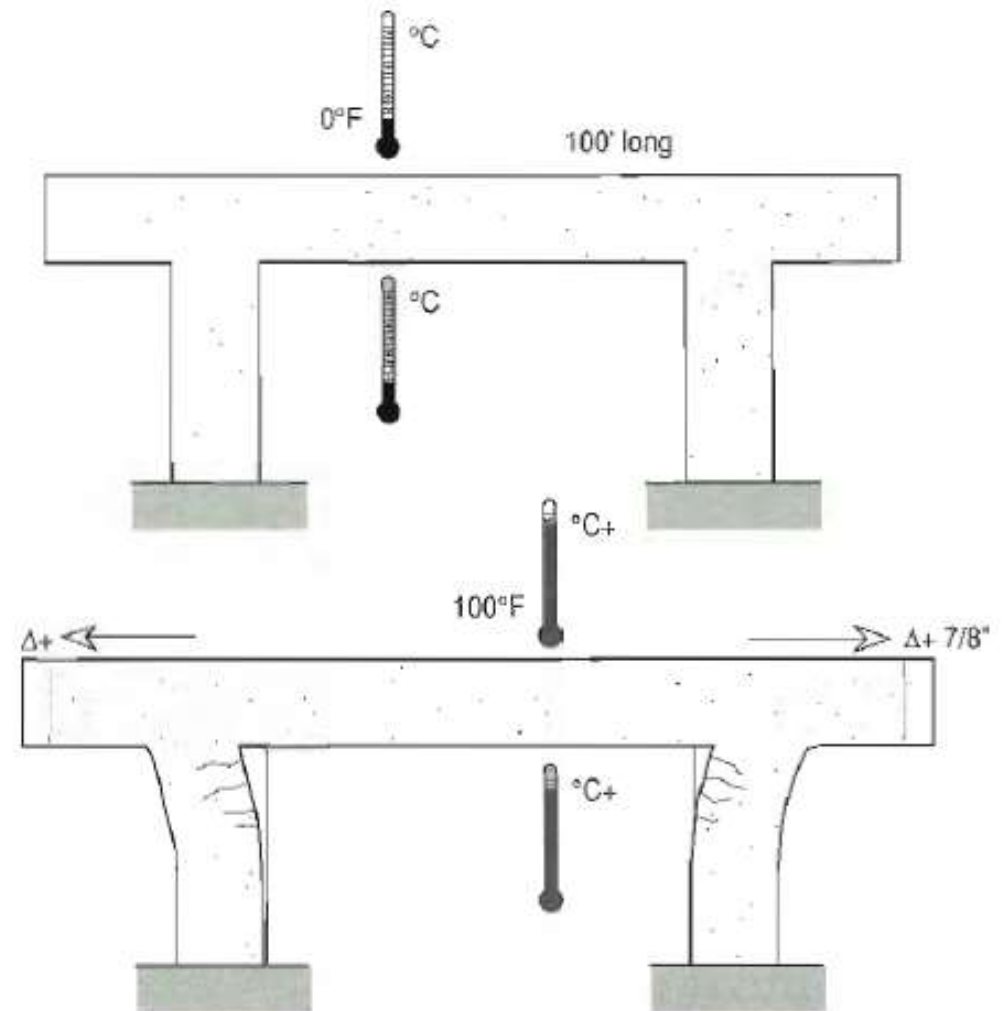
- Retracción por secado
- Retracción plástica
- Dilatación/contracción térmica,
- Otros...

Fisuración por efectos higrotérmicos

Ej. de retracción por secado



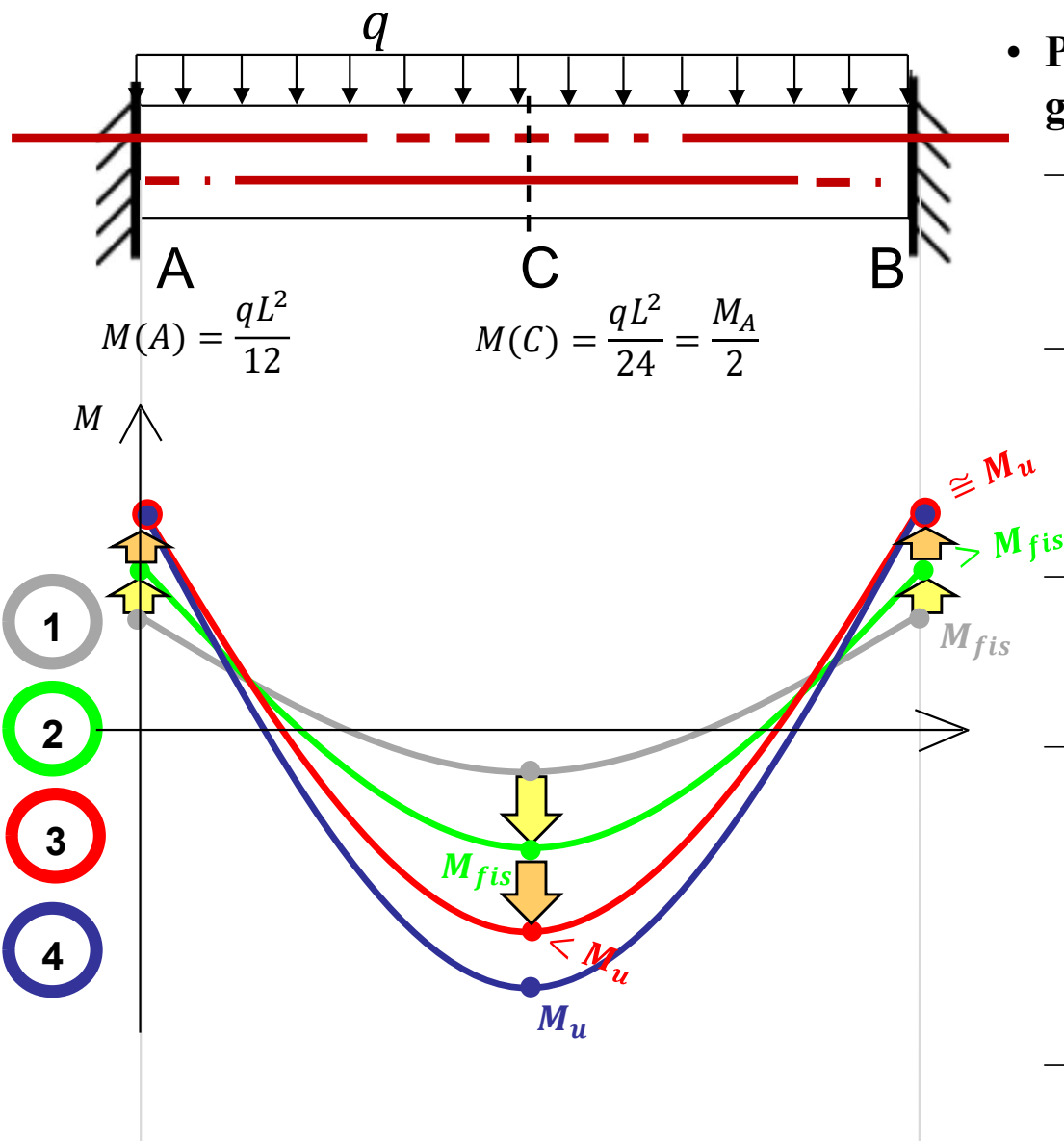
Ej. de dilatación térmica



Proceso de rotura en una viga

• Ejemplo: viga bi-empotrada

- Carga uniformemente distribuida q



• Elección de armadura

- Armamos la sección C con igual armadura que las secciones A y B. Elegimos $4\phi 16$ (8 cm^2).

• Para analizar la rotura hacemos crecer gradualmente la carga q de cero hasta la rotura.

- Primero todas las secciones se comportan de forma elástico-lineal, hasta que en A y B alcanzamos el momento de fisuración.
- Las secciones A y B fisuran, perdiendo rigidez, por lo que para nuevos incrementos de q , tomarán menores momentos que si no hubiera fisurado.
- Al aumentar q , ahora la sección C toma mayores momentos ya que no ha fisurado todavía, hasta que C fisura (análisis elástico lineal válido).
- Con nuevos incrementos de carga, el proceso se repite pero ahora A y B alcanzan la “rotura” antes que C. Si las secciones son dúctiles, éstas plastifican formando rótulas plásticas de giro limitado. Nuevos incrementos de q serán tomados casi exclusivamente por C hasta romper en $M(C)=M_u$.
- Esto es un análisis plástico de la viga.

- **Redistribución de esfuerzos:**

- Cuando en la sección más solicitada de una estructura hiperestática se produce plastificación de la armadura principal de flexión, la rigidez de la sección disminuye enormemente, convirtiéndose en una rótula plástica (zona cercana a Estado III).
- A partir de ese momento, la distribución de esfuerzos bajo un aumento de carga es totalmente distinta a la elásticamente predicha.
- Ocurre que la zona plastificada no absorbe más momento y lo “traspasa” a zonas contiguas menos solicitadas, hasta generar otras rótulas plásticas, y eventualmente el colapso (siempre que exista suficiente ductilidad: secciones que se deformen, o sea que giren, manteniendo el momento constante).
- Este análisis depende de la formación de rótulas plásticas (análisis de plasticidad) en donde se asume que dichas rótulas pueden girar de forma ilimitada. Pero esto no es así en hormigón, debido a su fragilidad. Por eso tomamos aproximaciones prácticas comprobadas experimentalmente.
- La aplicación de la redistribución de esfuerzos se realiza solamente para las verificaciones de ELU. La misma se realiza porque los resultados obtenidos son más parecidos a la realidad.

• EHE:

- Propone una redistribución máxima “r” en porcentaje del momento máximo a redistribuir (calculado mediante análisis elástico-lineal), en donde:

$$r = \max\left(56 - 125 \frac{x}{d}, 0\right)$$

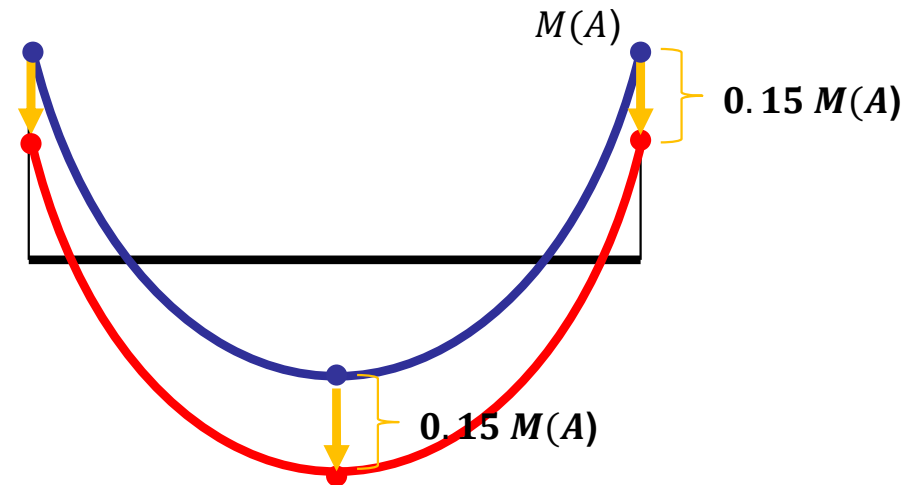
- Observar que cuando $x/d = 0,45$ o mayor, $r=0$, por lo que no se permite redistribución de momentos.

$r \geq 30\%$, acero de alta ductilidad
 $r \geq 20\%$, acero de ductilidad normal

• UNIT:

- Se admite una redistribución de momentos flectores negativos, de hasta un 15% del máximo momento flector negativo, siempre que x de la sección sometida al momento redistribuido, obtenida en el cálculo del ELU, sea inferior a $0,45d$.

• Cálculo:



• Comentarios:

- **Redistribución \neq Decalaje**
- En H1 **no** se pedirá aplicar redistribución de esfuerzos para la resolución de ejercicios

- **Buscar en el Código Estructural 2022 cómo se considera:**
 - La redistribución de esfuerzos
 - La cuantía mecánica mínima
 - La cuantía geométrica mínima

Código de figura “ ω_{\min} según EHE”

```
clear all; clc; close all
h_vec = [300:50:1000]';
fck_vec = [25:100]';

for i = 1:length(h_vec); % altura de viga en mm
    h = h_vec(i);

    % Resistencia característica a compresión:
    for j = 1:length(fck_vec); % N/mm2
        fck = fck_vec(j);

        % Resistencia media a tracción directa:
        if fck <= 50
            fctm = 0.3*fck^(2/3);
        else
            fctm = 0.58*fck^(1/2);
        end
    end
end
```

```
% Resistencia característica a tracción directa:
fctk = 0.7*fctm;

% Resistencia media a flexotracción:
fctmfl = max((1.6-h/1000)*fctm,fctm);

% Cuantía:
w = fctmfl/fck*1.5/6/0.8;

% Resultados
Mat(i,j) = w;
end
end

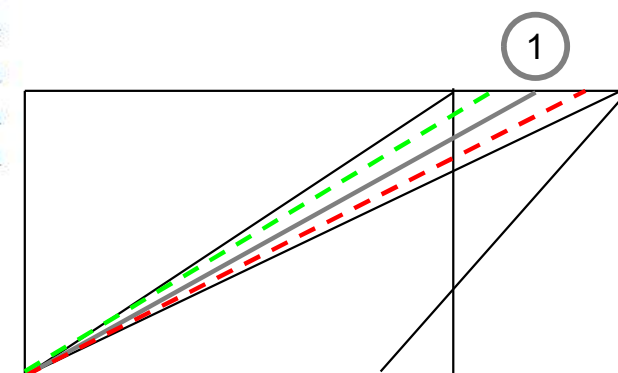
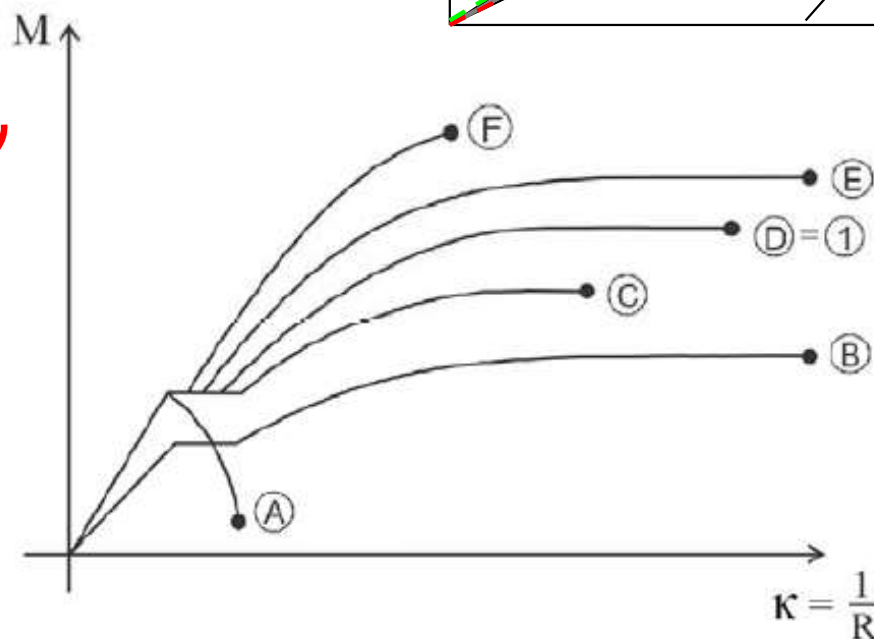
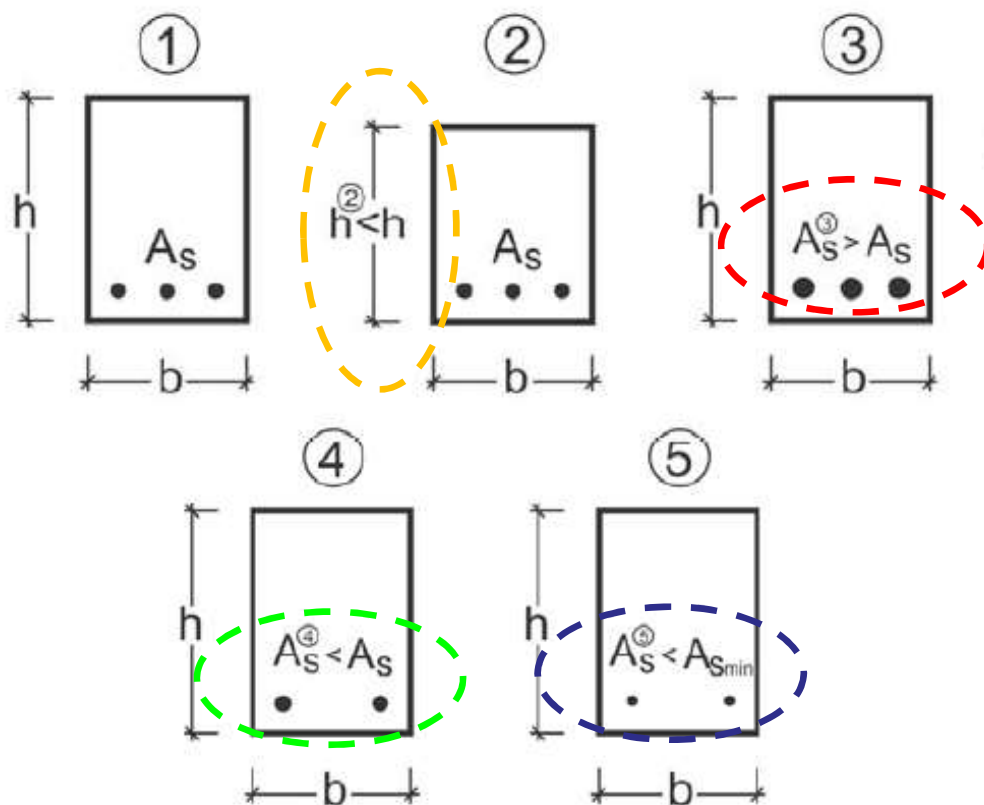
contourf(fck_vec,h_vec,Mat)
xlabel('f_{ck} (N/mm^2)')
ylabel('h (mm)')
colorbar
```

Ejemplo de pregunta teórica:

- Trazar el diagrama Momento-Curvatura para el proceso de carga hasta rotura de una viga "bien diseñada", detallando los puntos característicos.
- Indicar el estado tensional de la sección para los distintos estados.
- ¿Cuál es el valor de la pendiente del diagrama en los tramos elástico-lineales?
- La *Figura 1* contiene 5 secciones de hormigón armado. Todas las secciones son de igual material (f_{ck} y f_{yk}), el mismo ancho, el mismo recubrimiento mecánico, y en todas ocurre que el ELU por solicitaciones normales se da en el 2º dominio de deformación. Las diferencias entre las secciones se muestran en la *Figura 1*. La *Figura 2* contiene 6 posibles curvas de comportamiento de Momento-Curvatura, en donde se indica la curva que corresponde a la sección 1 (curva D). Se pide conectar cada una de las restantes secciones (2, 3, 4 y 5) con una de las curvas (A, B, C, D, E o F). Observar que una de las curvas no se corresponde con ninguna sección. Justificar brevemente (en una oración) la respuesta.

Solución:

- Diapositiva 5
- Diapositiva 6
- Diapositiva 5



1

Ejemplo de ejercicio:

1^{er} Semestre 2023 Agustin Spalvier Curso: Hormigón Estructural 1

20



UNIVERSIDAD
DE LA REPUBLICA
URUGUAY

-
- Hormigón armado:

<https://www.youtube.com/watch?v=cZINeaDjisY>

- Viga sobre-armada:

https://www.youtube.com/watch?v=3xw9_33uNJA

Fin

